

ИСТЕЧЕНИЕ ЗЕРНИСТОГО МАТЕРИАЛА ИЗ ОТВЕРСТИЯ ПРИ НАЛИЧИИ ПРОТИВОТОКА ГАЗА

Г. Г. Кувшинов

Институт катализа СО РАН,
630090 Новосибирск

1. Введение. Задача о свободном истечении зернистого материала из одиночного отверстия является классической задачей о песочных часах. Вместе с тем сложившиеся физические представления о механизме этого процесса отсутствуют. Еще менее изучен вопрос истечения дисперсного материала из одиночного отверстия при условиях, характерных для работы систем перетока дисперсного материала в аппаратах со стационарным, движущимся, псевдоожженным или циркулирующим слоями, для бункеров и питателей дисперсного материала, когда истечение дисперсного материала из отверстия происходит при наличии противотока газа. Важным для практики параметром в этом случае наряду со скоростью истечения частиц является критическая скорость газа, при которой истечение частиц прекращается.

Обзор публикаций по данному вопросу содержится в [1]. Наибольшее число работ по рассматриваемой проблеме посвящено гравитационному истечению дисперсного материала из отверстия при отсутствии потока газа. Эксперименты показали, что скорость истечения в этом случае практически не зависит от высоты слоя зернистого материала [2], если только высота слоя над отверстием превышает его диаметр. В [2] также показано, что характер истечения не зависит от наличия и расположения в слое над отверстием неподвижных элементов, если последние находятся на высоте, большей диаметра отверстия. Эти результаты представляются очень важными, поскольку они свидетельствуют о том, что скорость истечения не зависит от характера движения частиц над отверстием, а, скорее всего, определяется выходом частиц из плотного слоя в свободное пространство.

Предлагаемые в различных работах [3–8] эмпирические соотношения для расчета массового расхода дисперсного материала через отверстие в отсутствие потока газа можно привести к виду

$$j_m = K \Pi \rho_d S_o (gd_o)^{1/2}, \quad (1.1)$$

где K — постоянный безразмерный коэффициент; Π — поправочный коэффициент, зависящий от соотношения диаметра отверстия и частиц; $\rho_d = \rho_s(1 - \varepsilon_0)$ — насыпная плотность дисперсного материала; ρ_s — кажущаяся плотность частиц; ε_0 — порозность неподвижного слоя; S_o , d_o — площадь и диаметр отверстия; g — ускорение свободного падения.

В таблице показано основное отличие между соотношениями, представленными в литературе для расчета скорости истечения хорошо сыпучего дисперсного материала. В квадратных скобках в таблице выделены величины, которые введены в оригинальные формулы, чтобы привести их к виду (1.1). Основное отличие состоит в особенности учета влияния размера частиц. Как показывают сравнительные расчеты, все соотношения достаточно хорошо согласуются между собой. Исключение составляет формула в строке 3, которая, видимо, приведена в [5] с ошибкой.

<i>K</i>	<i>II</i>	Примечания	Литература
0,55	1	—	[3]
$\frac{6,67 \cdot 0,403 \cdot [4]}{[\pi]} \eta = 0,87 \div 0,99$	$d_o^{0,1} \left(1 - 2,48 \frac{d_t}{d_o^{1,1}}\right)$	$\eta = 0,24 \div 0,29$	[4]
$\frac{8,41 \eta \cdot [4]}{\pi g^{1/2}} = 0,82 \div 0,99$ (g, m/c ²)	$\left(1 - 2,48 \frac{d_t}{d_o^{1,1}}\right) / d_o$	$\eta = 0,24 \div 0,29$	[5]
$\frac{5730 \cdot [4]}{[\pi g^{1/2}]^2 s^{5/2}} = 0,686$ (g, см/мин ²)	$\left(1 - 1,8 \frac{d_t}{d_o} + 6,4 \left(\frac{d_t}{d_o}\right)^2\right)$		[6]
$\frac{4(2)^{1/2}}{15} \lambda / [(1 - \varepsilon_0)] =$ $= 0,51 \div 0,64$	$\left(1 - \frac{d_t}{d_o}\right)^{5/2}$	$\varepsilon_0 = 0,4$ $\lambda = 0,82 \div 1,02$	[7]
$0,65(1,6)^{1/2} = 0,82$	$\left(1 - 1,25 \frac{d_t}{d_o}\right)^{5/2}$		[8]

Экспериментальные исследования по истечению частиц при наличии противотока газа выполнены в весьма ограниченном объеме [4, 5, 9, 10]. Установлено [4, 5, 10], что с увеличением скорости газа скорость истечения дисперсного материала уменьшается и при критическом значении скорости газа W_{oc} движение частиц прекращается вообще или приобретает пульсирующий характер при весьма незначительном расходе материала через отверстие. Соотношения, позволяющие рассчитать скорость истечения дисперсного материала из отверстия при наличии противотока газа, а также величину W_{oc} , не известны.

Теоретические попытки описания процесса истечения дисперсного материала из отверстия были предприняты лишь для случая, когда поток газа в отверстии отсутствует. Работы по этому вопросу нельзя признать успешными, так как полученные в них зависимости содержат эмпирические коэффициенты, а использованные исходные положения в ряде случаев ошибочны.

В частности, в [11] вывод уравнения для расхода зернистого материала основан на предположении о плоской укладке частиц, что вблизи отверстия не должно выполняться, кроме того, полученное соотношение не учитывает влияния размера частиц.

В [12] при выводе соотношения для расхода частиц предполагается одновременное выполнение вблизи отверстия условий постоянства площади сечения и плотности потока при переменной скорости частиц, что противоречит закону сохранения массы.

В [3] постулируется, что над отверстием существует динамический свод, частицы под сводом движутся в режиме свободного падения, т. е. с ускорением, и в то же время принимается, что плотность потока под сводом постоянна и равна плотности неподвижного слоя. Очевидно, что это также невозможно при соблюдении закона сохранения массы.

Наиболее перспективной для дальнейшего развития теории истечения дисперсного материала из отверстия представляется гипотеза о наличии над отверстием динамического разгружающего свода, которая хорошо объясняет независимость скорости истечения от высоты слоя и от особенностей течения зернистой среды над отверстием при условии, что высота свободного зернистого слоя над отверстием превышает диаметр отверстия.

2. Элементарная теория истечения зернистого материала из отверстия. В основу предлагаемой теории положена рассмотренная выше гипотеза о существовании динамического свода над отверстием. Впервые гипотеза о динамическом своде, как отмечено в [3], высказана Г. И. По-

кровским и А. И. Арефьевым. Понятие динамического свода в определенной степени условно. Как под сводом, так и над сводом частицы не являются жестко связанными. Расстояние между ними, поскольку они подвижны, должно быть несколько большим, чем в неподвижном слое. Отличие в состоянии над и под сводом частей потока состоит в том, что над сводом движущиеся частицы находятся во взаимодействии друг с другом. На поверхности свода достигается максимально возможная скорость частиц, движущихся в ансамбле. Дальнейшее ускорение взаимодействующих частиц в суживающемся потоке приводит к эффекту заклинивания и разрыву потока. Скорость истечения зернистого материала при этом определяется выходом частиц из динамического свода в свободное пространство, где частицы движутся уже в режиме свободного падения, не взаимодействуя друг с другом. Чтобы решить задачу об истечении дисперсного материала в рамках данной модели, необходимо рассмотреть вопрос о выходе частицы из динамического свода, образующегося над отверстием.

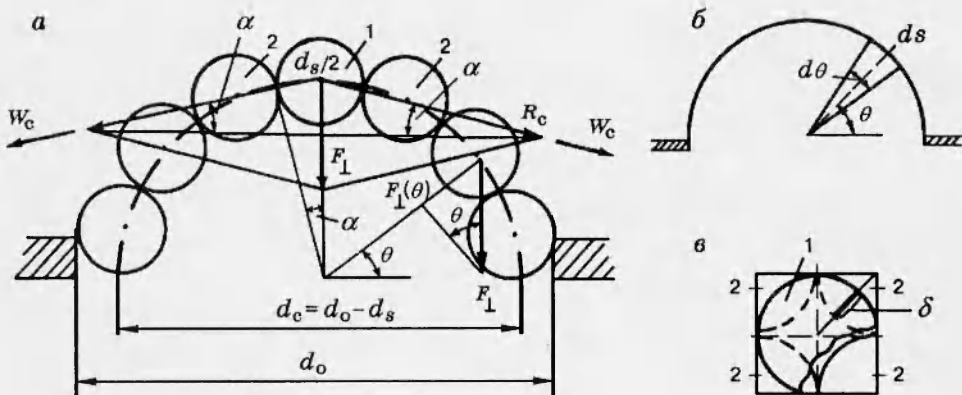


Рис. 1

Схематично положение частиц в своде, действие сил и перемещение частиц по своду показано на рис. 1, а. Форму свода примем сферической. Частицы в своде находятся в непрерывном движении, связанном с удалением частиц и постоянным обновлением свода. Несколько в ином состоянии оказывается лишь ряд частиц, лежащих в основании свода на решетке. Время выхода этих частиц из-за контакта с неподвижной решеткой существенно больше времени выхода остальных частиц, в результате чего нижний ряд частиц свода останется на решетке даже тогда, когда частицы этого ряда будут практически лишь касаться решетки. При этом благодаря связи частиц нижнего ряда с решеткой отверстие оказывается как бы частично перекрытым частицами этого ряда. Учитывая сказанное, можно принять, что свод имеет диаметр, уменьшенный по сравнению с диаметром отверстия d_o на величину, близкую к диаметру частицы d_s , т. е. диаметр свода $d_c = d_o - d_s$.

Рассмотрим механизм выхода частицы из свода. Пусть на рис. 1, а это будет частица 1. В интересуемом нас радиальном направлении частица в своде будет двигаться под действием радиальной составляющей внешних сил $F_{\perp}(\theta)$, зависящей от полярного угла θ (рис. 1, б). Эта сила представляет собой проекцию на радиальное направление суммы внешних сил: силы тяжести $F_{1\perp}$ и силы трения $F_{g\perp}$, связанной с фильтрацией газа. При движении рассматриваемая частица действует на каждую из n соседних частиц, препятствующих выходу (на рис. 1, а это частицы 2), с силой

$$R_c = F_{\perp}(\theta)/(n \sin \alpha). \quad (2.1)$$

При этом частицы 2 перемещаются по поверхности свода со скоростью W_c . Баланс сил, действующих на эти частицы, можно записать в виде

$$R_c - R_W = m_s a_s, \quad (2.2)$$

где R_W — сила сопротивления, обусловленная столкновением частицы 2, движущейся со скоростью W_c в своде, с окружающими ее частицами; $a_s = dW_c/d\tau$ — ускорение частицы 2. Эта сила будет такой же, как и в случае, если бы на неподвижную частицу сечением $\pi d_s^2/4$ набегал поток частиц плотностью $\rho_s(1 - \varepsilon)$ со скоростью W_c (ε — порозность свода). Сила R_W равна изменению импульса частиц потока в результате столкновения с рассматриваемой частицей в единицу времени. Считая соударения упругими, получим

$$R_W = \rho_s(1 - \varepsilon) W_c^2 \pi d_s^2 / 2. \quad (2.3)$$

Как следует из рис. 1,а,

$$\sin \alpha = d_s / (d_o - d_s). \quad (2.4)$$

Имея в виду (2.1)–(2.4), на основании (2.2) залишем

$$\frac{dW_c}{d\tau} = \frac{6F_\perp(\theta)d_c}{\pi d_s^4 \rho_s n} - \frac{3(1 - \varepsilon)}{d_s} W_c^2, \quad (2.5)$$

откуда, интегрируя по времени от 0 до τ , а по скорости от 0 до W_c , определим время τ , за которое частица 2 приобретет скорость W_c :

$$\tau = \int_0^{W_c} \frac{dW_c}{A^2 - B^2 W_c^2} = \frac{1}{2AB} \ln \frac{A + BW_c}{A - BW_c}, \quad (2.6)$$

где

$$A^2 = \frac{6F_\perp(\theta)d_c}{\pi d_s^4 \rho_s n}, \quad B^2 = \frac{3(1 - \varepsilon)}{d_s}. \quad (2.7)$$

Из (2.6) находим

$$W_c = \frac{A e^{2AB\tau} - 1}{B e^{2AB\tau} + 1}. \quad (2.8)$$

Наиболее неустойчивой укладкой частиц в единичном слое является кубическая [13]. Поэтому будем полагать, что частица, покидающая свод, находится в такой укладке и, следовательно, воздействует одновременно на четыре соседние частицы 2, как это показано на рис. 1,б. В этом случае надо принять

$$n = 4, \quad \delta = d_s(2 - 2^{1/2})/2, \quad (2.9)$$

где δ — расстояние, на которое должна сместиться, как это видно из рис. 1,б, частица 2 под воздействием покидающей свод частицы 1. С другой стороны, $\delta = \int_0^{\tau_m} W_c d\tau$ (τ_m — время выхода частицы из свода), поэтому с учетом (2.8) имеем

$$\delta = (1/B^2) \ln \operatorname{ch}(AB\tau_m). \quad (2.10)$$

Решая (2.10) относительно τ_m , получим

$$\tau_m = (1/AB) \ln(e^{\delta B^2} + (e^{2\delta B^2} - 1)^{1/2}). \quad (2.11)$$

Принимая во внимание (2.7) и (2.9), соотношение (2.11) перепишем в виде

$$\tau_m = (\pi d_s^5 \rho_s n / (18d_c(1 - \varepsilon)F_{\perp}(\theta)))^{1/2} \ln Z, \quad (2.12)$$

где

$$Z = e^{\delta B^2} + (e^{2\delta B^2} - 1)^{1/2}. \quad (2.13)$$

Величина τ_m характеризует время выхода одной частицы с площадки свода $\pi d_s^2 / (4(1 - \varepsilon))$, приходящейся на одну частицу свода. Число частиц с элементарного кольцевого элемента свода ds (рис. 1,б) в единицу времени

$$dN = 4(1 - \varepsilon)ds / (\pi d_s^2 \tau_m). \quad (2.14)$$

Массовый расход частиц с элементарного кольцевого участка с учетом (2.9) $dj_m = \rho_s \pi d_s^3 / 6dN$. Следовательно, принимая во внимание (2.12)–(2.14) и делая подстановку $ds = (\pi d_s^2 / 2) \cos \theta \cdot d\theta$, находим

$$dj_m = \frac{(1 - \varepsilon)^{3/2} d_c^{5/2}}{d_s^{3/2}} \left(\frac{\pi \rho_s F_{\perp}(\theta)}{2} \right)^{1/2} \ln^{-1} Z \cos \theta \cdot d\theta. \quad (2.15)$$

Для вычисления общего расхода зернистого материала через отверстие необходимо проинтегрировать (2.15) по θ от 0 до $\pi/2$. Но прежде надо решить вопрос об определении радиальной составляющей внешних объемных сил F_{\perp} . Очевидно, что при свободном гравитационном истечении в отсутствие фильтрации газа

$$F_{1\perp}(\theta) = \frac{\pi d_s^3}{6} \rho_s g \sin \theta. \quad (2.16)$$

Силу сопротивления, действующую на частицу и связанную с фильтрацией газа, можно определить, воспользовавшись уравнением Эргана для перепада давления при фильтрации газа через слой неподвижного зернистого материала [14]:

$$P_e = 150 \frac{(1 - \varepsilon)^2}{\varepsilon^3} \frac{\rho_g \nu_g U_c}{d_s^2} + 1,75 \frac{(1 - \varepsilon)}{\varepsilon^3} \frac{\rho_g U_c^2}{d_s}. \quad (2.17)$$

Здесь ρ_g , ν_g — плотность и кинематическая вязкость газа; P_e — падение давления на единичном отрезке; U_c — скорость фильтрации газа, отнесенная к поверхности свода.

Имея в виду, что $U_c = W_o / 2$ (в силу сохранения расхода газа скорость газа в основании свода W_o (скорость в отверстии) и скорость фильтрации на поверхности свода U_c обратно пропорциональны площадям основания и поверхности свода), а сила, действующая на одну частицу со стороны газа, $F_g = P_e / n_1$, где число частиц в единице объема $n_1 = 6(1 - \varepsilon) / (\pi d_s^3)$, получим

$$F_g = 12,5 \pi \frac{1 - \varepsilon}{\varepsilon^3} d_s \rho_g \nu_g W_o + 7,29 \cdot 10^{-2} \frac{\pi d_s^2 \rho_g W_o^2}{\varepsilon^3}. \quad (2.18)$$

Считая для частиц у поверхности свода направление движения газа совпадающим с осью отверстия, радиальную составляющую силы трения, так же как и силы тяжести, запишем в виде

$$F_{g\perp} = F_g \sin \theta. \quad (2.19)$$

Теперь, учитывая (2.16) и (2.19), после интегрирования (2.15) от 0 до $\pi/2$ имеем соотношение для вычисления массового расхода дисперсного мате-

риала в единицу времени через отверстие:

$$j_m = K \rho_d S_o \left(\frac{(\pi d_s^3 \rho_s g - 6 F_g) d_o}{\pi d_s^3 \rho_s} \right)^{1/2} \left(1 - \frac{d_s}{d_o} \right)^{5/2}, \quad (2.20)$$

где

$$K = 4((1 - \varepsilon)/3)^{3/2}/(1 - \varepsilon_0)/\ln Z. \quad (2.21)$$

Соотношение (2.20) — обобщенная зависимость для скорости истечения хорошо сыпучего монодисперсного материала через круговое отверстие под действием силы тяжести при наличии противотока газа. Это соотношение не является строгим. Вместе с тем необходимо отметить, что оно, хотя и получено в рамках определенных предположений о механизме процесса выхода частиц из свода, не содержит неопределенных коэффициентов.

В рамках рассмотренных представлений о механизме истечения дисперсного материала из отверстия критическая скорость газа, при которой истечение твердых частиц из отверстия прекращается, находится из (2.20) при условии $j_m = 0$:

$$W_{oc} = \frac{4 \text{Ar} \nu_g / d_s}{\frac{150(1-\varepsilon)}{\varepsilon^3} + \left(\left(\frac{150(1-\varepsilon)}{\varepsilon^3} \right)^2 + 4 \text{Ar} \frac{1.75}{\varepsilon^3} \right)^{1/2}} \quad (2.22)$$

($\text{Ar} = d_s^3 \rho_s g / (\rho_g \nu_g^2)$ — число Архимеда).

Полученные соотношения не учитывают ряд факторов, которые очень трудно охарактеризовать количественно: форму частиц, влажность, наличие электростатических сил, полидисперсность и другие факторы, приводящие к возникновению сил сцепления между частицами или, наоборот, к увеличению их подвижности. Учет этих факторов на практике производится, как правило, путем подбора соответствующего коэффициента пропорциональности K .

3. Сопоставление теории с экспериментальными данными. *Гравитационное истечение дисперсного материала из отверстия.* Имеется весьма большое число работ, посвященных данному вопросу. Поэтому нецелесообразно рассматривать первичные экспериментальные данные. Удобнее провести сравнение установленной здесь теоретической зависимости с имеющимися в литературе и подтвержденными экспериментально соотношениями, рекомендуемыми для истечения хорошо сыпучих материалов из цилиндрических отверстий в отсутствие влияния потока газа.

Для рассматриваемого случая ($F_g = 0$) соотношение (2.20) имеет вид

$$j_m = K \rho_d S_o (d_o g)^{1/2} (1 - d_s/d_o)^{5/2}. \quad (3.1)$$

По виду соотношение (3.1) оказалось весьма близким к полученным в литературе на основе обработки экспериментальных данных (см. таблицу). В (3.1) также в качестве основного параметра, влияющего на расход дисперсного материала, выступает диаметр отверстия с показателем степени 2,5. Соотношение (3.1) отражает, так же как и зависимости [4–8], слабое влияние на расход диаметра частиц. Это влияние, как следует из (3.1) и экспериментов, оказывается тем существеннее, чем больше отношение диаметров частиц и отверстия. Близкий к (3.1) закон изменения расхода от диаметра частиц установлен ранее экспериментально в [7, 8]. При уменьшении отношения d_s/d_o зависимость от диаметра частиц вырождается, и соотношение (3.1) приобретает вид [3].

В зависимости (3.1) коэффициент K не является эмпирическим. Он может быть вычислен, если известна порозность ε свода. Однако такая информация отсутствует. Вместе с тем необходимо отметить, что возможный диапазон изменения ε достаточно узкий, вследствие чего даже произвольный выбор ε в возможном диапазоне его изменения не приведет к увеличению погрешности определения K более чем на 10 %.

Действительно, при выводе зависимостей (2.20), (2.22) было принято, что частицы на поверхности динамического свода имеют наименее устойчивую кубическую укладку. Для кубической укладки в статическом состоянии порозность $\varepsilon = 0,47$. В подвижном состоянии порозность должна быть несколько выше. Это увеличение в рамках рассмотренной модели оценить невозможно. Имеются экспериментальные данные по определению порозности виброожженного и движущегося слоев, а также слоя в состоянии минимального псевдоожжения, из которых следует, что увеличение порозности в этих условиях составляет 5÷10 % по сравнению с порозностью неподвижного слоя. Аналогичное приращение порозности, связанное с подвижностью частиц по отношению к значению 0,47, можно ожидать и в рассматриваемом случае. С учетом сказанного значение ε в (2.21) можно принять равным 0,5, а отвечающее ему значение коэффициента K (в соответствии с (2.21)) — равным 0,45.

Как показывает сравнение, соотношение (3.1) достаточно хорошо совпадает по виду и количественно с эмпирическим выражением [15]. Примечательно, что среднее значение коэффициента пропорциональности, определяемое теоретическим соотношением (2.21) при $\varepsilon = 0,5$, с точностью до 20 % совпадает со средним значением этого коэффициента, найденным экспериментально в [3, 7, 15] для хорошо сыпучих материалов. Таким образом, соотношение (3.1), не содержащее новых эмпирических констант, достаточно хорошо описывает экспериментальные данные по гравитационному истечению дисперсного материала через одиночное отверстие в свободное пространство. Необходимо заметить, что сравнение экспериментальных данных разных авторов обнаруживает расхождение более чем на 20 %. Это можно объяснить влиянием неучитываемых обычно факторов, таких как переувлажнение материала, электростатические силы, влияние кромок отверстия и др.

Истечение дисперсного материала при наличии противотока газа. Сопоставление расчетных результатов по полученной зависимости с имеющимися в литературе экспериментальными по гравитационному истечению зернистого материала через отверстие при наличии противотока газа показано на рис. 2, 3, где линии — данные расчета по зависимости (2.20) с учетом (2.18), (2.21), точки — результаты экспериментов. Порозность частиц в своде ε , так же как и в случае свободного гравитационного истечения, принималась равной 0,5. Экспериментальные данные на рис. 2, заимствованные из [5], соответствуют истечению шамотной крошки из отверстия $d_o=0,04$ м (1, $1' — d_s=0,0015$ м, $\rho_d=990$ кг/м³, 2, $2' — d_s=0,0025$ м, $\rho_d=970$ кг/м³, 3, $3' — d_s=0,004$ м, $\rho_d=920$ кг/м³, 4, $4' — d_s=0,0065$ м, $\rho_d=900$ кг/м³); на рис. 3

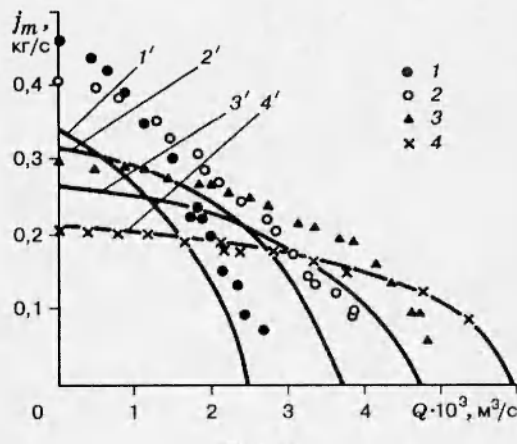


Рис. 2

данные, взятые из [10], отвечают истечению частиц при следующих условиях: *a* — отверстие $0,0125 \times 0,0125$ м, $d_s = 0,625$ мм, $\rho_s = 2420$ кг/м³, *б* — отверстие $0,0125 \times 0,0125$ м, $d_s = 1,025$ мм, $\rho_s = 2500$ кг/м³, *в* — отверстие $0,0145 \times 0,0145$ м, $d_s = 1,425$ мм, $\rho_s = 2540$ кг/м³. Координаты на рис. 2, 3 приняты такими же, как и в [5, 10] ($Q = \pi d_s^2 W_o / 4$ — расход газа через отверстие, $j_V = j_m / \rho_d$).

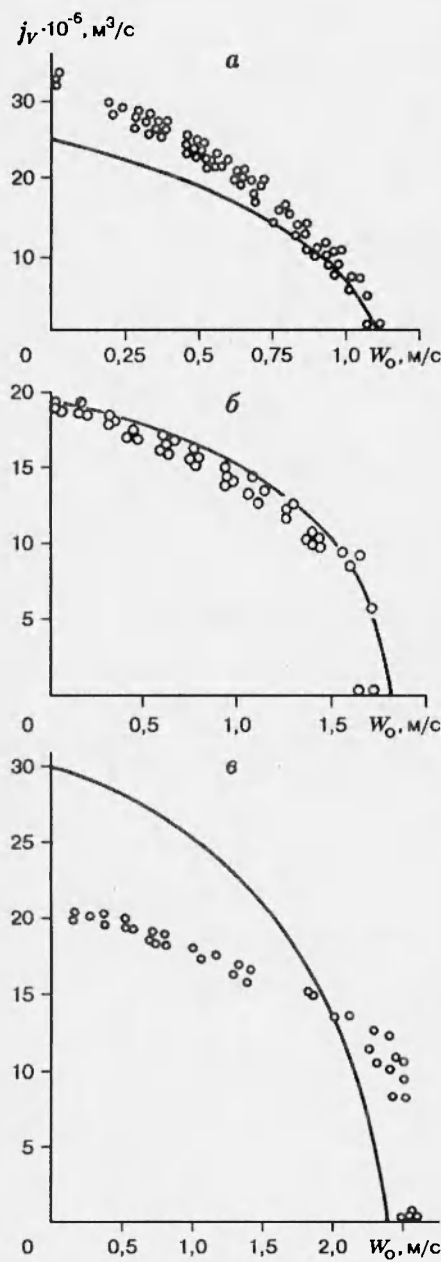


Рис. 3

Из рис. 2 видно, что в основном диапазоне скоростей газа отклонения результатов расчета расхода частиц от данных экспериментов не превышают 30 %. Относительное расхождение может быть более существенным при скоростях газа, близких к критическим, когда $j_m \rightarrow 0$ (например, данные 2, 2'). Однако, учитывая отмеченную в [10] нестабильность истечения при скоростях, близких к критическим, соответствие экспериментальных и расчетных результатов можно считать вполне удовлетворительным. К сожалению, в [5] не проводилась регистрация критической скорости, при которой истечение прекращалось. Вместе с тем экстраполяция экспериментальных результатов до $j_m = 0$ дает значения W_{oc} , близкие, как это видно, к получаемым на основе расчета.

На рис. 3 сравниваются расчетные и экспериментальные результаты, полученные в [10], по скорости истечения зернистого материала из прямоугольных отверстий. При проведении расчетов использовался эквивалентный диаметр, определяемый по соотношению $d_{oe} = 2(S_o / \pi)^{1/2}$. Как видно из рис. 3, качественно закон изменения расхода зернистого материала от скорости газа через отверстие предлагаемая теория отражает верно. Количественное расхождение между расчетными результатами, найденными по соотношениям (2.20) и (2.22), и экспериментальными данными для расхода частиц через отверстие не превышает 30÷35 %, а для критической скорости газа — 5÷7 %. Такое соответствие для рассматриваемого процесса можно считать вполне удовлетворительным.

Из сопоставления расчетных и экспериментальных результатов можно заключить, что разработанная элементарная теория, не содержащая новых эмпирических констант, хорошо согласуется с экспериментальными данными и позволяет описывать скорость истечения дисперсного материала из одиночного отверстия при наличии противотока газа во всем

диапазоне скоростей. Расхождения можно связать с влиянием на процесс истечения неконтролируемых факторов: влажность дисперсного материала, электростатические силы, вибрация, полидисперсность и др. Учет этих факторов — задача дальнейшего развития теории истечения дисперсного материала из отверстия.

ЛИТЕРАТУРА

1. Кувшинов Г. Г. Транспорт зернистого материала в элементах аппаратов с плотным и псевдоожиженным слоем. Новосибирск, 1991. (Препр./ Ин-т катализа СО АН СССР).
2. Кеннерман Ф. Е., Залогин Н. Г., Воробьев В. Н., Антошина О. С. О механизме свободного истечения сыпучих тел // Инж.-физ. журн. 1960. Т. 3, № 3. С. 69–73.
3. Линчевский И. П. К вопросу об истечении сыпучих тел // Журн. техн. физики. 1939. Т. 9, № 4. С. 343–346.
4. Борисов Ю. И., Ходак Л. З. Механизм движения сыпучих тел при движении их через отверстие // Инж.-физ. журн. 1965. Т. 8, № 6. С. 712–719.
5. Борисов Ю. И., Ходак Л. З. О некоторых закономерностях движения шихты в доменной печи // Изв. АН СССР. Металлы. 1965. № 3. С. 3–10.
6. Лукьянов П. И. Аппараты с движущимся зернистым слоем. М.: Машиностроение, 1974.
7. Brown R. L., Richards Y. C. Profile of flow of granules through apertures // Trans. Inst. Chem. Eng. 1960. V. 38, N 151. P. 243–256.
8. Зенков Р. Л., Гриневич Г. П., Исаев В. С. Бункерные устройства. М.: Машиностроение, 1977.
9. Цубанов А. Г., Забродский С. С., Антонишин Н. В. О влиянии фильтрации газа на истечение сыпучих материалов // Исследование процессов переноса в аппаратах с дисперсными системами/ Ин-т тепло- и массообмена АН БССР. Минск, 1969. С. 129–132.
10. Нехлебаев Ю. П., Дементьев В. М. Движение зернистого материала через отверстия при наличии восходящего газового потока // Химия и технология топлив и масел. 1968. № 11. С. 38–41.
11. Гячев Л. В. Движение сыпучих материалов в трубах и бункерах. М.: Машиностроение, 1968.
12. Зенков Р. Л. Механика насыпных грузов. М.: Машиностроение, 1964.
13. Гольдштик М. А. Процессы переноса в зернистом слое. Новосибирск: Ин-т теплофизики СО АН СССР, 1984.
14. Аэров М. Э., Тодес О. М., Наринский Д. А. Аппараты со стационарным зернистым слоем. Л.: Химия, 1979.
15. Тюряев И. Я., Буйлов А. Б. Исследование и расчет сетчатых решеток для секционированных реакторов со взвешенным слоем катализатора // Журн. прикл. химии. 1962. Т. 35, № 10. С. 2224–2230.

*Поступила в редакцию 29/IV 1994 г.,
в окончательном варианте — 17/X 1994 г.*